

EA614 - Análise de Sinais

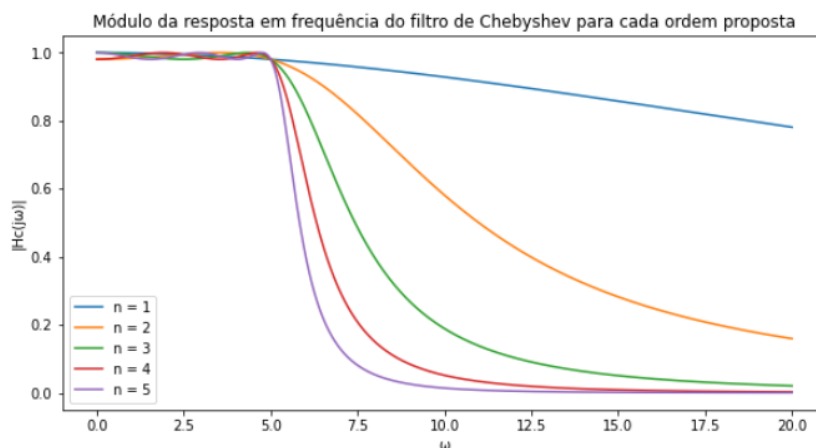
3º Exercício de Fixação de Conceitos (EFC) – Filtros Analógicos

Bryan Wolff

RA: 214095

- **Questão A**

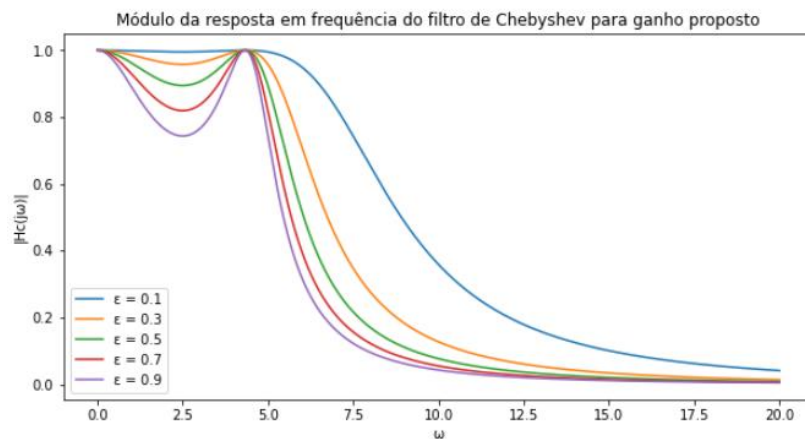
Neste item, foi implementada uma função que calcula o módulo da resposta em frequência do filtro de Chebyshev em função de ω , ω_c , n e ϵ . De acordo com a sugestão dada, foi utilizado um vetor de frequências ω no intervalo de 0 a 20 rad/s. Além disso, para o exercício, foi proposto utilizar a frequência de corte (ω_c) de 5 rad/s, ganho na frequência de corte (ϵ) de 0.2 para a ordem do filtro (n) variando de 1 a 5. Dessa forma, foi possível obter o seguinte gráfico:



É possível notar que, a partir de $\omega > \omega_c$, onde a frequência de corte (ω_c) é de 5 rad/s, a função apresenta um decrescimento característico de um filtro passa-baixas. Além disso, a diferença entre as ordens do filtro, demonstra a eficiência de cada filtro utilizado, pois conforme o valor de n aumenta, mais a função se aproxima de um filtro ideal.

- **Questão B**

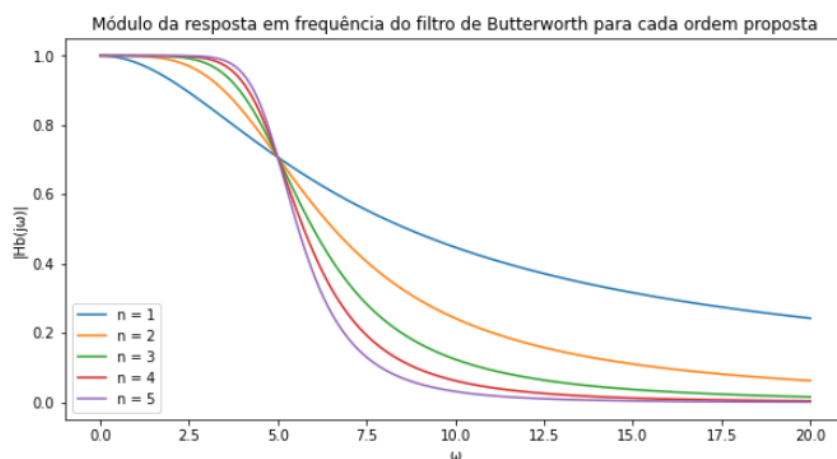
Utilizando da mesma função da questão anterior, e da mesma frequência de corte, porém fixando o valor de ordem de filtro (n) em 3 e variando o ganho na frequência de corte (ϵ) de 1 a 5, foi possível obter o seguinte gráfico:



A partir deste gráfico, para frequências menores que a frequência de corte (ω_c) de 5 rad/s, é notável que, quanto mais altos os valores de ϵ , maior a discrepância em comparação com o valor ideal 1, distanciando de um comportamento de um filtro. Porém, para frequências maiores que a frequência de corte (ω_c), um aumento no valor de ϵ , proporciona um comportamento mais característico de um filtro, devido ao seu decrescimento.

- **Questão C**

Nesta questão, foi implementada uma função que calcula o módulo da resposta em frequência do filtro de Butterworth em função dos parâmetros: vetor de frequências (ω); frequência de corte do filtro (ω_c); ordem do filtro (n). Dessa forma, foi gerado um gráfico das respostas em frequência deste filtro para uma frequência de corte (ω_c) de 5 rad/s e ordem do filtro (n) variando de 1 a 5.



De acordo com o gráfico, é possível notar que quanto maior o valor de n , a curva da resposta em frequência se aproxima de uma função degrau. Portanto, a eficiência deste filtro é garantida para valores maiores da ordem do filtro.

- **Questão D**

Para calcular transformada de Fourier $X(j\omega)$ do seguinte sinal do sinal $x(t)$, dado por:

$$x(t) = \begin{cases} 1, & |t| < \tau/2 \\ 0, & \text{c. c.} \end{cases} \quad \text{onde } \tau = \frac{2\pi}{\omega_c}$$

Foi aplicada a definição da transformada de Fourier, onde:

$$X(j\omega) = \int_{-\infty}^{\infty} x(t)e^{-j\omega t} dt = \int_{-\tau/2}^{\tau/2} 1 \cdot e^{-j\omega t} dt = \frac{e^{-j\omega t}}{-j\omega} \Big|_{-\tau/2}^{\tau/2} = \frac{-1}{j\omega} \left[e^{-j\omega \frac{\tau}{2}} - e^{j\omega \frac{\tau}{2}} \right]$$

Como $x(t)$ é nulo nas regiões de $t < -\frac{\tau}{2}$ e $t > \frac{\tau}{2}$, e possui valor unitário em $-\frac{\tau}{2} < t < \frac{\tau}{2}$, podemos calcular a integral dessa forma:

$$X(j\omega) = \int_{-\tau/2}^{\tau/2} 1 \cdot e^{-j\omega t} dt = \frac{e^{-j\omega t}}{-j\omega} \Big|_{-\tau/2}^{\tau/2} = \frac{-1}{j\omega} \left[e^{-j\omega \frac{\tau}{2}} - e^{j\omega \frac{\tau}{2}} \right]$$

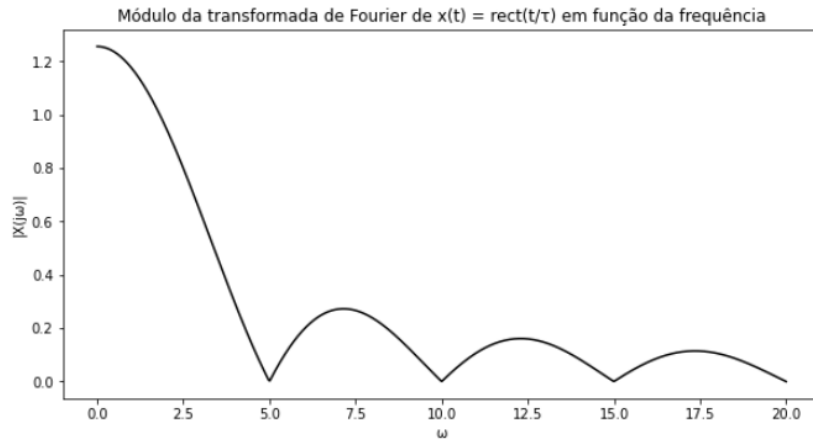
Utilizando da seguinte identidade de Euler: $\sin(x) = \frac{e^{-jx} - e^{jx}}{2j}$

Podemos então chegar no seguinte valor:

$$X(j\omega) = \frac{2\sin\left(\omega \frac{\tau}{2}\right)}{\omega} = \frac{\tau}{\frac{\omega\tau}{2}} \sin\left(\omega \frac{\tau}{2}\right)$$

$$\therefore X(j\omega) = \tau \cdot S_a\left(\omega \frac{\tau}{2}\right) \rightarrow \text{Função Sampling}$$

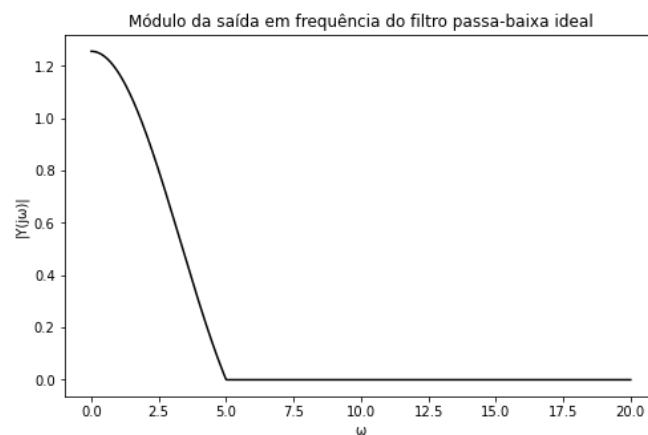
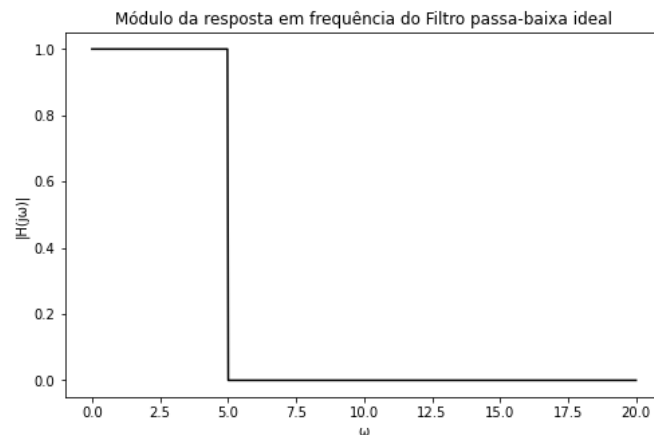
A partir do resultado obtido, foi gerado o seguinte gráfico do módulo da função transformada de Fourier $X(j\omega)$:



A partir do gráfico, é possível notar que, para valores de frequência múltiplos da frequência de corte (ω_c) dada por 5rad/s, $X(j\omega)$ sempre terá o módulo nulo.

- Questão E**

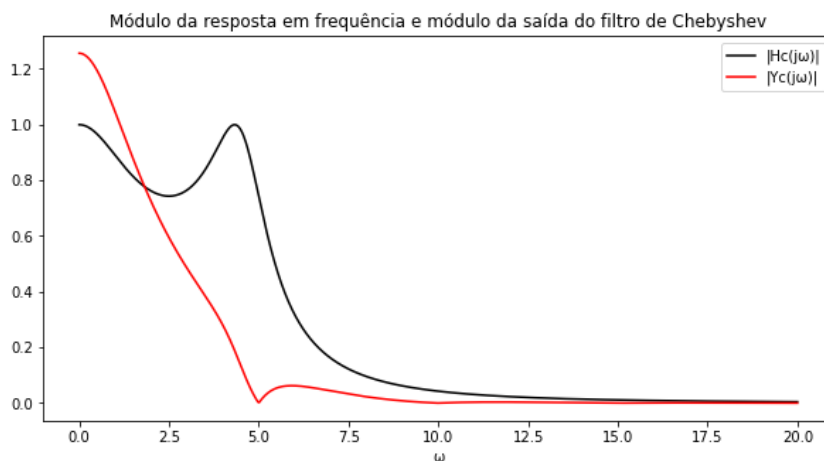
Considerando o filtro passa-baixas ideal proposto, adotando a frequência de corte de 5rad/s, foi gerado o gráfico do módulo da resposta em frequência do filtro $|H(j\omega)|$ e o módulo do sinal de saída filtrado $|Y(j\omega)|$, a partir da relação $|Y(j\omega)| = |H(j\omega)| * |X(j\omega)|$.



A partir desses gráficos, observa-se a filtragem por um filtro ideal, onde é possível notar que o módulo do sinal $X(j\omega)$ do item anterior é mantido sem distorção na saída $|Y(j\omega)|$ para frequência de até 5 rad/s, isto é, até a frequência de corte. Para valores maiores que o da frequência de corte, o sinal será filtrado e o módulo do sinal de saída $Y(j\omega)$ para estes valores será nulo.

- **Questão F**

Foi utilizado como resposta em frequência o filtro de Chebyshev a partir da função já implementada no item A. Dessa forma, foi proposto utilizar a frequência de corte (ω_c) de 5 rad/s, ganho na frequência de corte (ϵ) de 0.9 para a ordem do filtro (n) de 3 para gerar o módulo da resposta em frequência ($|H_C(j\omega)|$), e foi utilizado como entrada o $X(j\omega)$ para gerar o seguinte gráfico de $|H_C(j\omega)|$ e o módulo do sinal de saída filtrado $|Y_C(j\omega)|$:

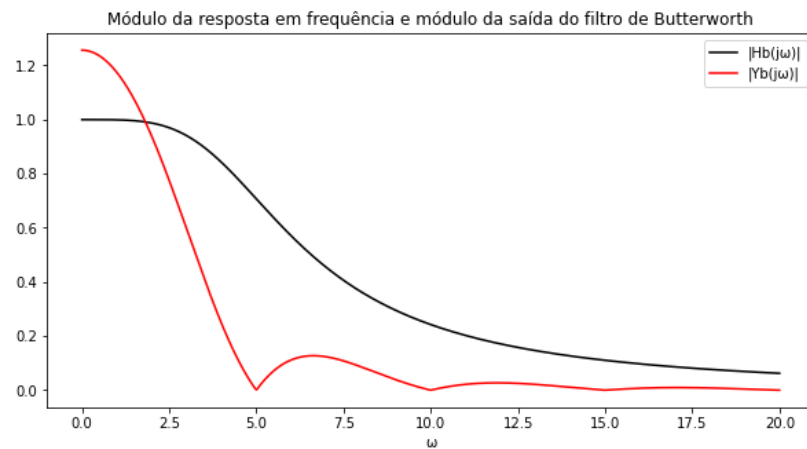


A partir deste gráfico, é possível concluir que o filtro de Chebyshev distorce parcialmente o módulo de $X_C(j\omega)$ para o intervalo $\omega < \omega_c$ e permite a passagem de uma parte deste sinal para o intervalo $\omega > \omega_c$. Portanto, esse filtro não se aproxima muito bem de um modelo ideal.

- **Questão G**

Foi utilizado como resposta em frequência o filtro de Butterworth a partir da função já implementada no item C. Dessa forma, foi proposto utilizar a frequência de corte (ω_c) de 5 rad/s e uma ordem do filtro (n) de 2 para gerar o módulo da resposta em frequência ($|H_B(j\omega)|$), e foi utilizado como entrada o $X(j\omega)$

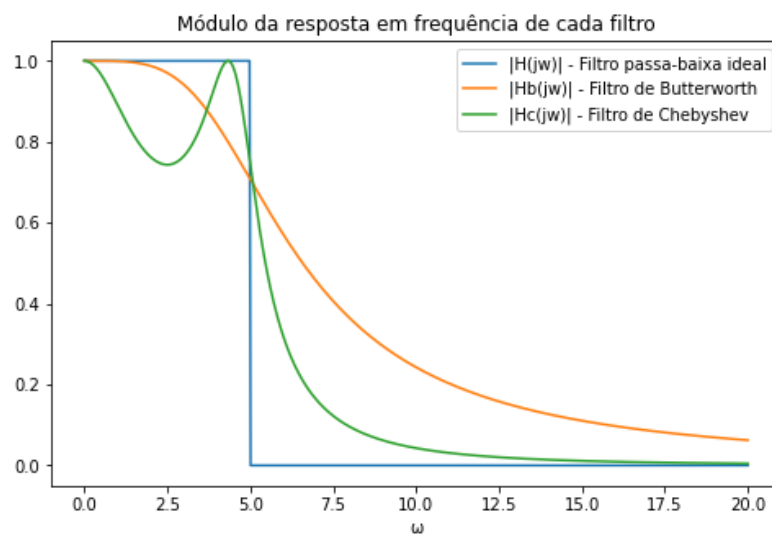
já citado para gerar o seguinte gráfico de $|H_B(j\omega)|$ e o módulo do sinal de saída filtrado $|Y_C(j\omega)|$:

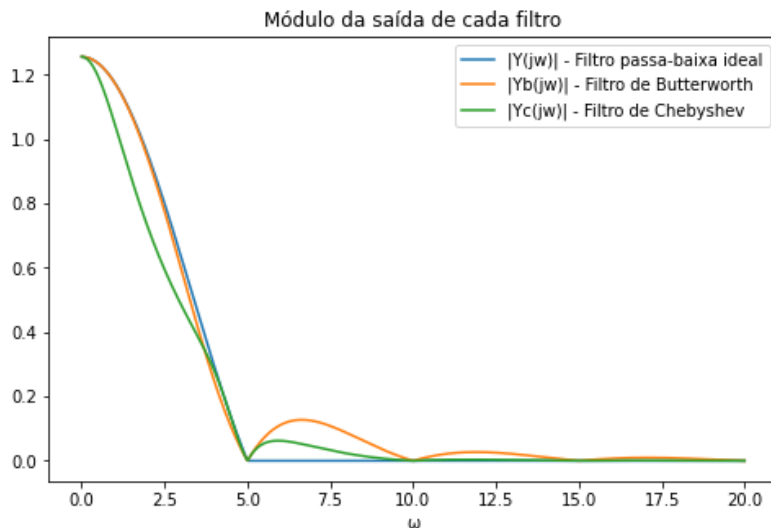


Assim como concluído anteriormente, é possível concluir que o filtro de Butterworth distorce parcialmente o módulo de $X(j\omega)$ para o intervalo $\omega < \omega_c$ e permite a passagem de uma parte deste sinal para o intervalo $\omega > \omega_c$. Portanto, esse filtro não se aproxima muito bem de um modelo ideal.

- **Questão H**

Levando em consideração os resultados obtidos nos itens anteriores, será gerado um gráfico com o módulo da resposta em frequência dos 3 filtros abordados, e outro gráfico com o módulo da saída de cada filtro.





A partir dos gráficos plotados acima, é possível concluir que, para o intervalo de frequências menor que a frequência de corte 5 rad/s, o filtro de Butterworth apresenta um comportamento que se aproxima mais de um filtro ideal em comparação com o filtro de Chebyshev e, conseqüentemente, o sinal de saída também está mais próximo do ideal, ou seja, com menos distorções neste espectro.

Além disso, para o intervalo de frequências maior que a frequência de corte de 5 rad/s, é possível concluir que o filtro de Chebyshev é mais efetivo que o de Butterworth. Isso se dá devido ao fato da resposta em frequência se aproximar do caso ideal e, conseqüentemente, um sinal de saída com poucas distorções e melhor filtrado.

Nesta perspectiva, a eficácia de cada filtro dependerá do propósito de sua aplicação, pois o filtro de Butterworth possui melhor aplicabilidade quando o espectro de frequências é inferior à frequência de corte, enquanto que filtro de Chebyshev atuará melhor quando as frequências forem superiores à frequência de corte.